К статье: Муравьев Л.А., Бызов Д.Д., Федорова Н.В. – «Изучение структурных особенностей магнитного поля земной коры Северного Ледовитого океана в пределах геоструктур Уральского региона»

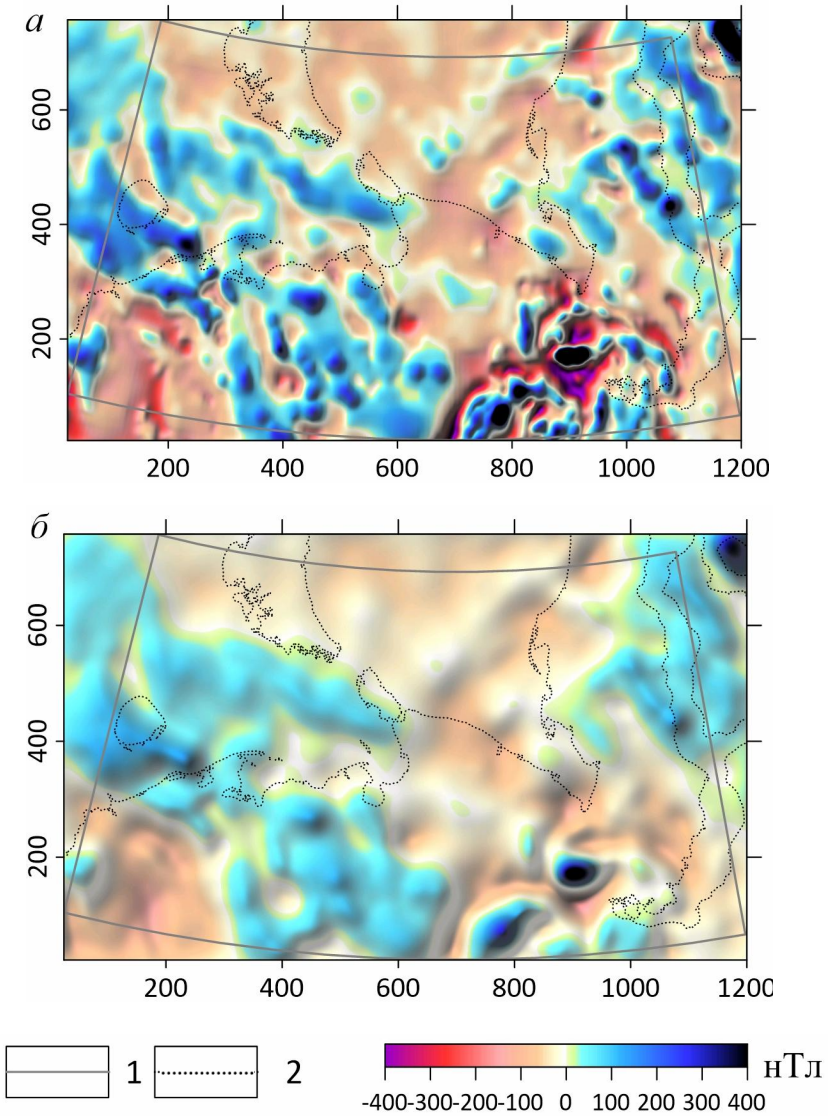

Рис. 2. Исходные аномалии модуля магнитного поля и выделенные аномалии вертикальной составляющей:
а – карта аномального магнитного поля ΔT_a;
б – карта аномального региональной составляющей вертикальной компоненты магнитного поля ΔZ.
1 – границы исследуемого участка; 2 – контуры береговой линии.
Цветовая раскраска одинакова для всех карт

К статье: Муравьев Л.А., Бызов Д.Д., Федорова Н.В. – «Изучение структурных особенностей магнитного поля земной коры Северного Ледовитого океана в пределах геоструктур Уральского региона»

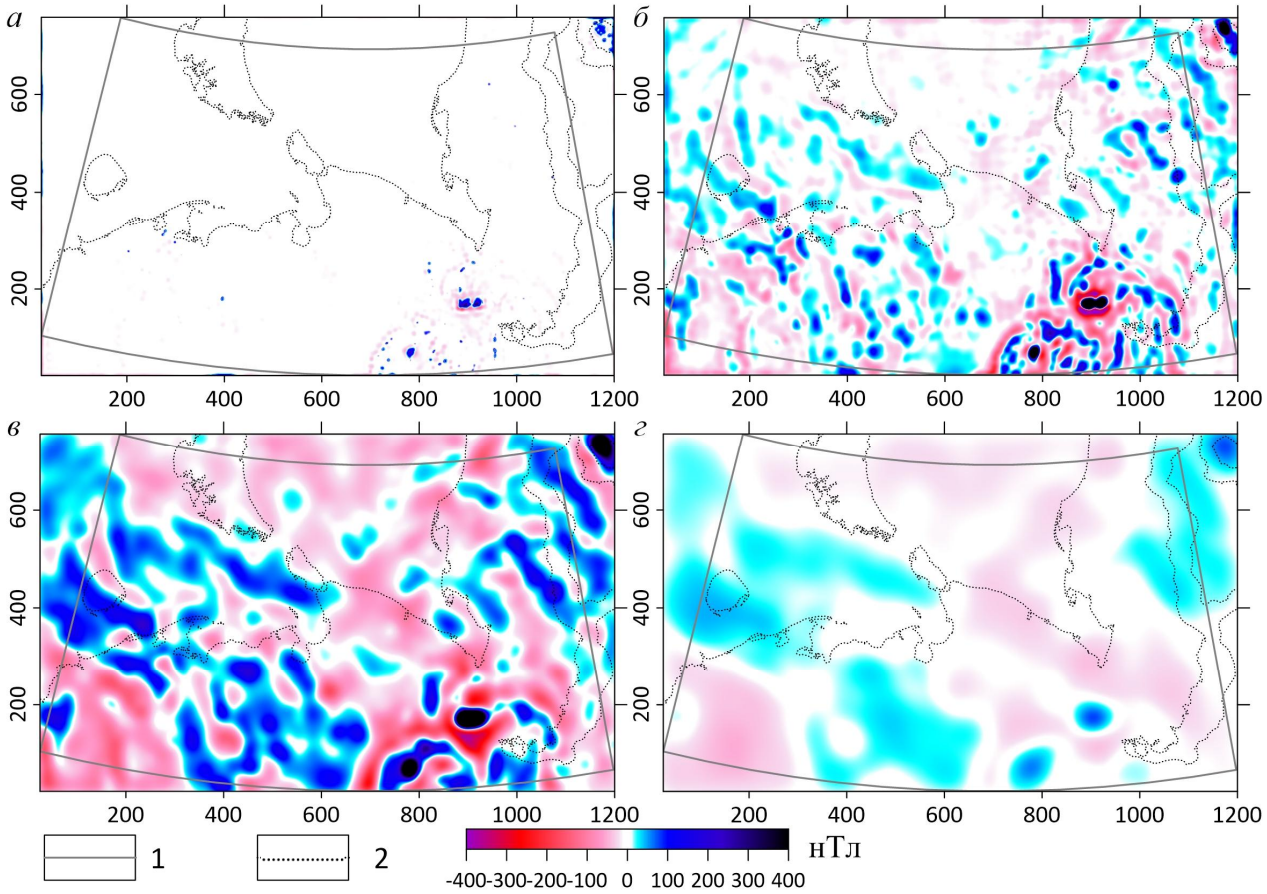

Рис. 4. Результат разделения магнитного поля на составляющие от отдельных слоев земной коры:
а – слой 0–1 км; *б* – слой 1–6 км; *в* – слой 6–15 км; *г* – слой 15–40 км.
1 – границы исследуемого участка;
2 – контуры береговой линии.
Цветовая раскраска одинакова для всех карт

К статье: Федорова О.И. – «Исследование частотной дисперсии электросопротивления на золоторудных месторождениях Среднего Урала»

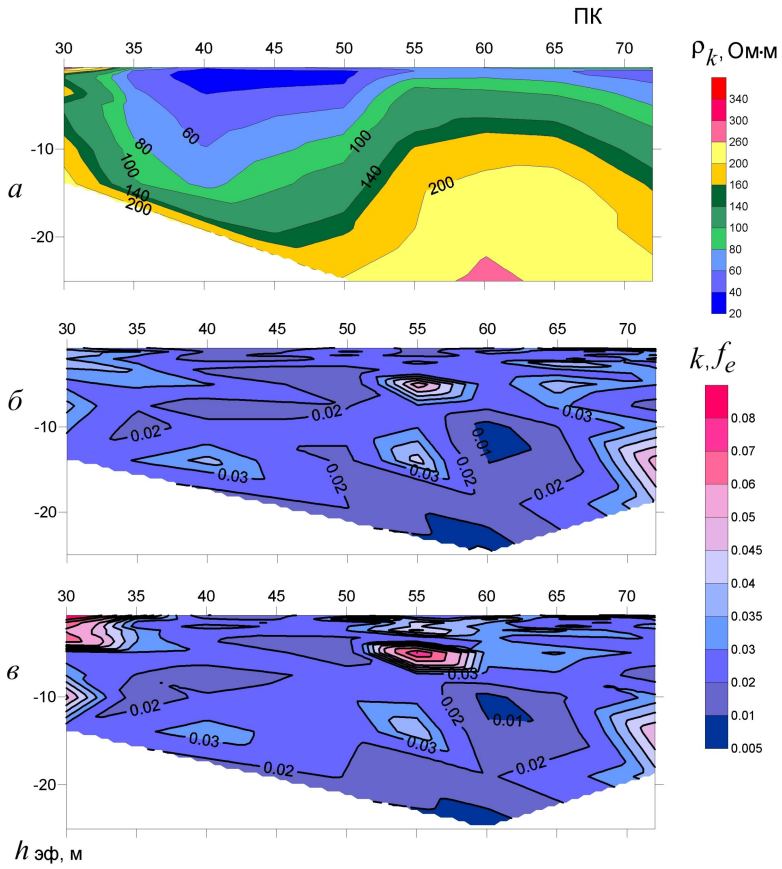

Рис. 1. Результаты электрических зондирований на Свердловском золоторудном месторождении.
Разрезы: *а* – кажущихся сопротивлений;
б – коэффициента частотной дисперсии;
в – частотного эффекта

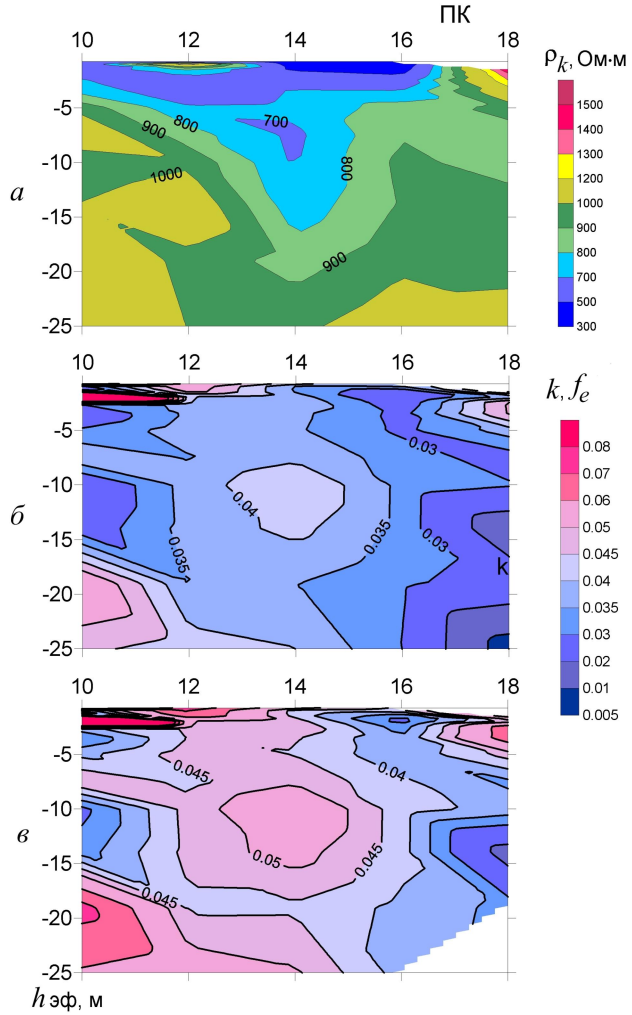

Рис. 2. Результаты электрических зондирований на Шиловском золотоносном медно-скарновом месторождении.
Разрезы: *а* – кажущихся сопротивлений; *б* – коэффициента частотной дисперсии;
в – частотного эффекта

К статье: Шестаков А.Ф. – «О методике определения кажущегося сопротивления на переменном токе с применением установки Шлюмберже»

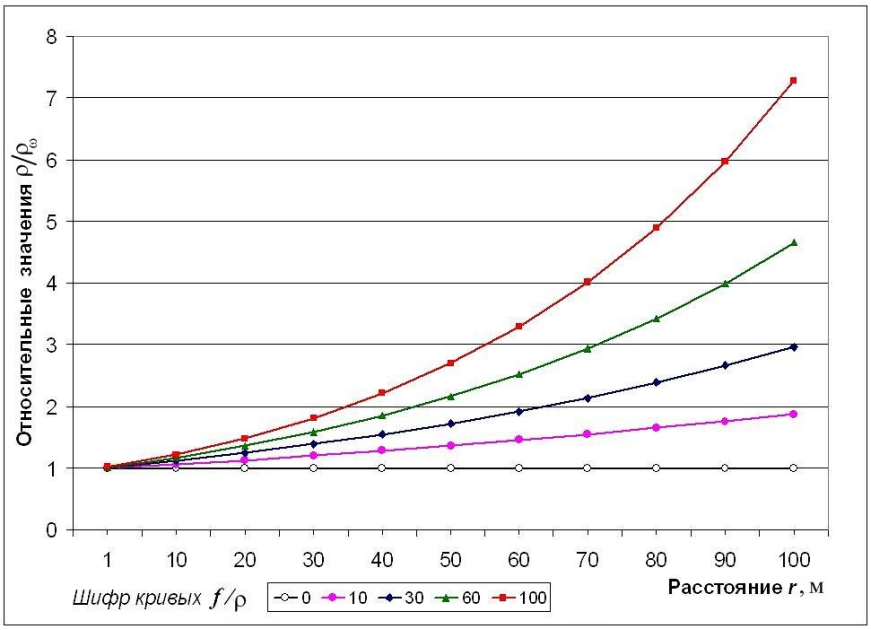

Рис. 2. Графики относительных значений $\rho_{отн} = \rho/\rho_{\omega}$ при различном отношении f/ρ, принятом в качестве шифра кривых

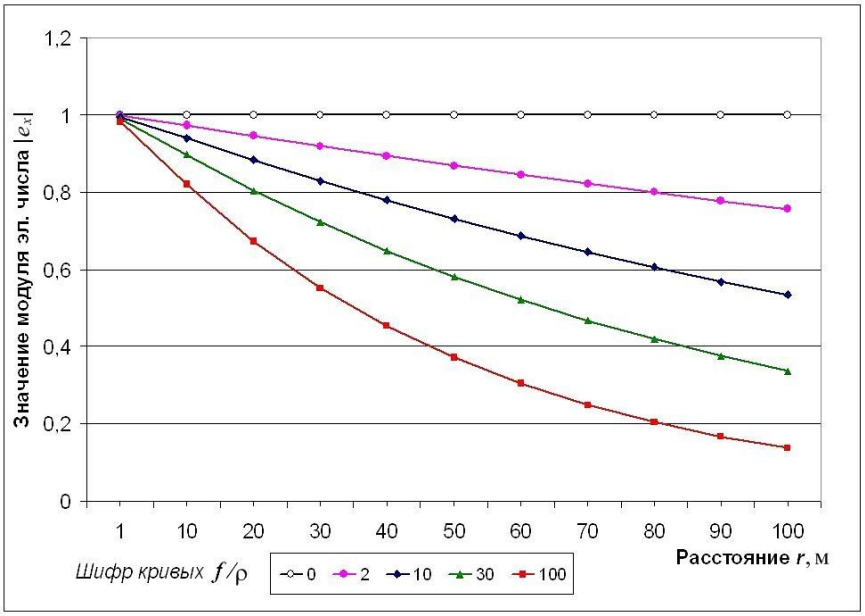

Рис. 3. Пример построения номограммы для модуля электрического числа при различном отношении f/ρ, принятом в качестве шифра кривых